

## تخمین عمق آبشنستگی موضعی در اطراف پایه‌های واقع در مجرای اصلی آبراهه‌ها به کمک شبکه عصبی مصنوعی

صلاح کوچکزاده<sup>۱</sup>، عبدالمجید لیاقت<sup>۲</sup> و حسین شیخ شمایل<sup>۳</sup>

۱، ۲، ۳، دانشیار، استادیار و کارشناس ارشد تأسیسات آبیاری، گروه آبیاری و آبادانی دانشگاه نهران

تاریخ پذیرش مقاله ۸۱/۰۲/۲۵

### خلاصه

تحقیقات آزمایشگاهی و صحرائی در زمینه آبشنستگی اطراف پایه‌های مستقر در مجاري اصلی رودخانه‌ها در پنجاه سال گذشته منجر به ارائه روابط متعدد برای برآورد حداقل عمق حفره آبشنستگی شده است. هرکدام از روابط یادشده اثر پارامترهای محدودی را مورد بررسی قرار می‌دهد. به همین دلیل برآوردهای قابل اعتمادی ارائه نمی‌دهند. در این تحقیق با بهره گیری از معتبرترین داده‌های جمع آوری شده در چند دهه گذشته، امکان استفاده از شبکه عصبی مصنوعی برای تخمین میزان عمق آبشنستگی مورد بررسی قرار گرفت. برای این منظور سیصد سری داده به کار گرفته شد. داده‌های دو بخش تقسیم شده‌اند. بخشی برای آموزش شبکه‌ها و بخش دیگر برای ارزیابی و مقایسه نتایج محاسبه شده با مشاهده شده به کار رفت. نتایج این تحقیق نشان داد که برآوردهای حاصل از شبکه تطابق بسیار مطلوبی با اندازه‌گیری‌ها دارد و از نتایج رگرسیون چند متغیره خطی هم بهتر بوده است. همچنین آنالیز حساسیت بر روی پارامترهای موثر بر پدیده نشان داد که انحراف معیار هندسی ذرات بستر بیشترین تأثیر را بر نتایج داشته است و عوامل تأثیر گذار دیگر از قبیل سرعت جریان، قطر متوسط ذرات، قطر پایه، و عمق جریان در مراتب بعدی قرار می‌گیرند.

### واژه‌های کلیدی: آبشنستگی، پایه‌پل، شبکه عصبی، سازه‌هیدرولیکی، سرعت آستانه، بستر زنده

آبشنستگی تنگشدنی و آبشنستگی موضعی. آبشنستگی عمومی یک فرایند طبیعی است و وقوع آن صرفنظر از حضور سازه‌های مصنوعی امکان پذیر است. اما کاهش ناگهانی در رقوم بستر مجرادر اطراف تأسیسات آبی بواسطه تغییرات شدید در الگوی جریان در اطراف این سازه‌ها آبشنستگی موضعی نامگذاری شده است. حاصل جمع آبشنستگی‌های فوق آبشنستگی کلی را تشکیل می‌دهد (۱۵). با توجه به شرایط حرکت مواد بستر، آبشنستگی بستر زنده<sup>۱</sup> و آبشنستگی آب صاف<sup>۲</sup> قابل تشخیص است. آبشنستگی آب صاف زمانی اتفاق می‌افتد که سرعت جریان طبیعی در مجارا کمتر از سرعت آستانه حرکت ذرات بستر باشد. اما چنانچه سرعت جریان در مجارا قبل از رسیدن به مانع از سرعت آستانه حرکت ذرات بستر بیشتر باشد، آبشنستگی بستر زنده مشاهده خواهد شد (۲).

### مقدمه

با وجود توسعه قابل توجه روشها و تکنیک‌های پیشرفته در آنالیز و طراحی سازه‌ای، لیست تعداد پل‌های تخریب شده روز به روز طولانی تر می‌شود. در میان دلایل مختلف تخریب، عوامل هیدرولیکی سهم عمده‌ای دارند و در آن میان آبشنستگی بیشترین نقش را دارد. برخی از گزارش‌ها نشان می‌دهند که ۶۰٪ تخریب پل‌ها به عوامل هیدرولیکی منسوب است و آبشنستگی موضعی عمدۀ ترین عامل در آن بین است (۱۴).

هرگاه مانعی در مسیر جریان آب قرار گیرد سرعت و تنش برشی در اطراف آن بطور موضعی افزایش یافته، باعث شسته شدن مواد بستر در اطراف مانع می‌شود. به جابجایی و شسته شدن مصالح بستر آبشنستگی گفته می‌شود. انواع مختلف آبشنستگی به سه دسته کلی تقسیم می‌شود، آبشنستگی عمومی،

1. Live bed scour

2. Clear water scour

دانشگاهی و تحقیقاتی در این زمینه مشغول بوده اند. نتیجه فعالیتهای ایشان علاوه بر تشکیل مجموعه‌ای از داده‌های آزمایشگاهی و صحرایی ارزشمند، ارائه فرمول‌های متعدد برآورد میزان عمق آبشنستگی اطراف پایه‌های مستقر در مجاري طبیعی بوده است. روابط متعدد ارائه شده را می‌توان بر اساس پارامترهای مورد مطالعه هر تحقیق طبقه بندی نمود. در این صورت مشاهده می‌شود که غالباً روابط بر اساس یک یا دو پارامتر مربوط به عدد فرود، عدد رینولدز، نسبت سرعت جریان به سرعت آستانه حرکت، بدء جریان، و یا نسبت عمق جریان به عرض مانع پایه ریزی شده اند. اگرچه مطالعات در اقصی نقاط گیتی صورت گرفته است اما در دو دهه اخیر این مطالعات در دانشگاه آکلند نیوزیلند، تمرکز جدی داشته که منجر به تبیین بهتر پدیده و ارائه روابط جامعتر نسبت به روابط موجود شده است (۳، ۴، ۵، ۷، ۸، ۱۱، ۹، ۱۲، ۱۳).

اما شاید آغاز ایده شبکه‌های عصبی مصنوعی را به ارائه نظریات جیمز<sup>۱</sup> و فعالیتهای لوریا<sup>۲</sup> در اوایل قرن ۱۹ که به شکل‌گیری این ایده کمک کرد، منسوب نمود. دیدگاه جدید شبکه‌های عصبی مصنوعی در دهه چهل میلادی شروع گردید، زمانی که مک‌کلوث<sup>۳</sup> و پیترز<sup>۴</sup> نشان دادند که شبکه‌های عصبی مصنوعی قادرند هر تابع حسابی و منطقی<sup>۵</sup> را محاسبه نمایند. این محققین برای اوین بار یک مدل نرون را بصورت مصنوعی فرمول‌بندی کردند. هب<sup>۶</sup> فعالیتهای مک‌کلوث و پیترز را ادامه داد و عمل شرط‌گذاری<sup>۷</sup> را بعنوان مکانیسمی جهت یادگیری نرونهاي مصنوعی ارائه داد.

در ادامه کار هب، روزنبلات<sup>۸</sup> بعد از ارائه اوین شبکه عصبی مصنوعی، معروف به پرسپترون<sup>۹</sup>، از طریق آنالیز ریاضی و شبیه‌سازی کامپیوتری نشان داد که این نوع شبکه را می‌توان برای حل مسئله طبقه‌بندی الگوها آموزش داد. پس از کار

دخلات عوامل متعدد مربوط به ویژگی جریان، خواص سیال، هندسه مقطع و مانع، مشخصات مصالح بستر و بالاخره زمان در پدیده آبشنستگی، تحلیل آن را با پیچیدگی خاص مواجه کرده است. به همین دلیل محققین زیادی پدیده آبشنستگی را مطالعه کرده و روابط مختلفی به منظور برآورد میزان آبشنستگی ارائه نموده‌اند.

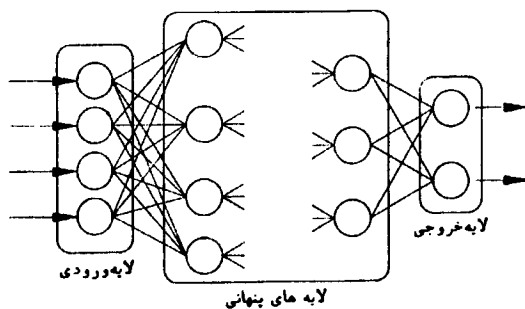
نتیجه حدود نیم قرن فعالیت محققین و مهندسین در این زمینه ارائه بیش از چهل فرمول برای تخمین عمق آبشنستگی بوده است. روابط ارائه شده عمدهاً بصورت توابعی از متغیرهای یا پسته هستند که با پردازش داده‌های آزمایشگاهی و بعضی از معرفی روش‌های آماری بدست آمده اند و هر معادله صحرایی به کمک روش‌های آماری بدست آمده اند. روابط افرادی فقط نقش عوامل محدودی (یک یا دو عامل) را ارزیابی می‌کند. به همین دلیل کاربرد این معادلات برای برآورد میزان عمق آبشنستگی در یک موقعیت خاص، غالباً نتایج کاملاً متفاوتی داده، انتخاب معادله‌ای که نتایج آن با واقعیت تطابق بیشتری داشته باشد اساساً اگر امکان پذیر باشد، امر ساده‌ای نیست.

در سالیان اخیر حرکتی مستمر از تحقیقات صرفاً تئوری به تحقیقات کاربردی بویژه در پردازش اطلاعات برای مسائلی که یا برای آنها راه حلی موجود نیست و یا به راحتی قابل حل نیستند شروع شده است. در این ارتباط علاقه زیادی به توسعه تئوریک سیستمهای دینامیکی هوشمند مدل-آزادکه مبتنی بر داده‌های تجربی هستند ایجاد شده است. شبکه‌های عصبی مصنوعی<sup>۱۰</sup> جزو این دسته از سیستمهای دینامیکی قرار دارند که با پردازش داده‌های تجربی، قانون نهفته در ورای داده‌ها را به ساختار شبکه منتقل می‌کنند. در این تحقیق با بهره گیری از کیفی ترین داده‌های جمع آوری شده در داده‌های گذشته امکان کاربرد شبکه عصبی مصنوعی در این مقوله مورد آزمون قرار گرفت. نتایج به دست آمده نه تنها برتری کاربرد این ابزار را تایید کرد بلکه میزان حساسیت و میزان نقش عوامل دخیل در پدیده را هم به روشنی تعیین کرد.

#### سابقه مطالعات

مطالعات آبشنستگی موضعی پیشینه‌ای مستمر در طول پنجاه سال گذشته داشته است. محققین زیادی در مراکز

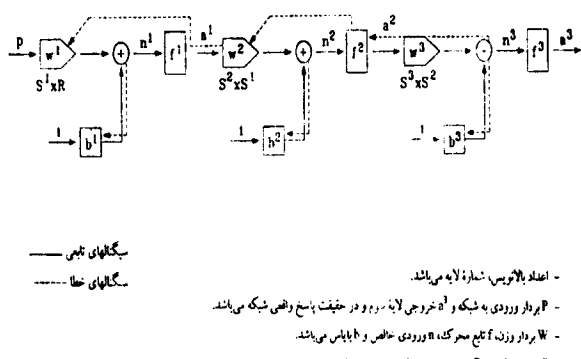
- 2. James
- 3. Loria
- 4. Mcculloch
- 5. Pitts
- 6. Arithmetic & Logical Function
- 7. Hebb
- 8. Conditioning
- 9. Rosenblat
- 10. Perceptron



شکل ۱- ساختار کلی شبکه‌های عصبی مصنوعی

شبکه‌های عصبی پرسپترون چند لایه و الگوریتم پس انتشار خطاطی شبکه‌های عصبی پرسپترون چند لایه<sup>۱</sup> در زمرة کاربردی‌ترین شبکه‌های عصبی مصنوعی می‌باشند. این شبکه‌ها قادرند با انتخاب مناسب تعداد لایه‌ها و نرونها، یک نکاشت غیرخطی را با دقت دلخواه انجام دهند و این همان چیزی است که در بسیاری از مسائل فنی و مهندسی بعنوان راه حل اصلی مطرح می‌باشد.

شکل (۲) شماتیک یک شبکه پرسپترون سه لایه را نشان می‌دهد. در این شکل هر نرون در هر لایه، به تمامی نرونهای لایه قبل متصل می‌باشد. آموزش این شبکه‌ها با استفاده از الگوریتم یادگیری پس انتشار خطاطی<sup>۲</sup> صورت می‌گیرد.



شکل ۲- شبکه پرسپترون سه لایه

الگوریتم پس انتشار خطاطی اساساً از دو مسیر اصلی تشکیل می‌شود. مسیر اول موسوم به مسیر رفت<sup>۱۱</sup> می‌باشد که در این مسیر، بردار ورودی به شبکه اعمال می‌شود و تأثیراتش از طریق

- 9. Multi layer perceptron (M.L.P.)
- 10. Back propagation error (B.P.E.)
- 11. Forward flow

روزنبلات، ویدرو<sup>۱</sup> شبکه عصبی تک لایه آدلاین<sup>۲</sup> را که از لحاظ ساختاری مشابه شبکه پرسپترون تک لایه می‌باشد مطرح نمود. رشد تکنولوژی ریزپردازنده‌ها در دو دهه گذشته باعث شد تا محققینی چون هاپفیلد<sup>۳</sup> و راملهات<sup>۴</sup> تحقیقات بیشتری انجام داده و نظریه‌هایی ارائه دهند که باعث رشد شبکه‌های عصبی مصنوعی گردید. از جمله می‌توان نظریه الگوریتم پس انتشار خطاطی را نام برد که توسط راملهارت و مکلندر<sup>۵</sup> مطرح گردید (۱).

## مواد و روشها

در این تحقیق از نسخه ۵/۲۲ نرم‌افزاری تحت عنوان Neuralworks Professional II/plus استفاده شده است. این نرم‌افزار امکان طراحی، ساخت، یادگیری و ارزیابی شبکه‌های عصبی مصنوعی را در اختیار قرار می‌دهد و در برگیرنده شبکه‌های متفاوت با فواینین یادگیری مختلف می‌باشد که نوع شبکه با توجه به زمینه‌ای که قرار است مدل شبکه مطابق با آن تهیه گردد انتخاب می‌شود. شبکه‌های مورد استفاده در این تحقیق از نوع شبکه‌های پرسپترون چند لایه با قانون یادگیری پس انتشار خطاطی می‌باشد.

## ساختار شبکه‌های عصبی مصنوعی

نرون کوچکترین واحد پردازشگر اطلاعات در یک شبکه عصبی مصنوعی می‌باشد و اساس عملکرد شبکه عصبی مصنوعی را تشکیل می‌دهد. ساختار شبکه عصبی مصنوعی با در کنار هم قرار دادن تعدادی نرون شکل گرفته، در حالت کلی ساختاری مشابه شکل (۱) دارد. بطورکلی هر شبکه عصبی مصنوعی از سه لایه بنامهای لایه ورودی<sup>۶</sup>، لایه پنهانی<sup>۷</sup> و لایه خروجی<sup>۸</sup> تشکیل می‌شود. تعداد نرونهای موجود در لایه ورودی و خروجی با توجه به مسئله مورد نظر مشخص می‌شود، حال آنکه تعداد نرونهای موجود در لایه‌های پنهانی و همچنین تعداد این لایه‌ها با نظر طراح انتخاب می‌گردد.

1. Widrow
2. Adaptive linear element (Adaline)
3. Hopfield
4. Rummelhart
5. Mcland
6. Input layer
7. Hidden layer
8. Output layer

در طراحی مدل شبکه عصبی مصنوعی برای پایه‌های میانی، تعداد ۳۰۰ سری داده از نتایج کار محققینی که در این زمینه فعالیت داشته‌اند جمع‌آوری گردید (۳، ۵، ۱۰، ۱۱، ۱۳). این داده‌ها در یک فایل از صفحه گسترش اکسل وارد شدند. داده‌های ورودی شامل سرعت جریان،  $U$ ، سرعت آستانه حرکت دانه‌های بستر (سرعت بحرانی)،  $U_s$ ، نسبت سرعت جریان به سرعت بحرانی، سرعت برشی،  $U_b$ ، سرعت برشی بحرانی،  $U_{bs}$ ، نسبت سرعت برشی به سرعت برشی بحرانی، شبکه کف،  $S_c$ ، عمق آب،  $Y$ ، قطر پایه‌پل،  $D$ ، نسبت عمق آب به قطر پایه‌پل، اندازه متوسط ذرات بستر،  $50L$ ، عدد فرود،  $F_f$ ، نسبت قطر پایه‌پل به اندازه متوسط ذرات بستر، دبی در واحد عرض،  $q$ ، و انحراف معیار هندسی ذرات بستر،  $\sigma$ ، که نشان دهنده میزان یکنواختی توزیع قطر ذرات بستر، می باشد، بودند. داده خروجی شبکه‌های ساخته شده مورد استفاده قرار گیرد. به منظور تقسیم ساخته شده می‌باشد به دو فایل Train و Test تقسیم می‌شود تا فایل Train در آموزش شبکه و فایل Test در چک کردن شبکه‌های ساخته شده مورد استفاده قرار گیرد. داده‌ها به صورت تصادفی، از تابع عدد تصادفی Random در صفحه گسترش اکسل، به گونه‌ای استفاده شد که به هر یک از ردیف داده‌ها یک عدد تصادفی نسبت داده شد، سپس ردیفهای داده بر مبنای ستون اعداد تصادفی مرتب گردید. به این ترتیب داده‌ها به صورت کاملاً تصادفی به دنبال هم قرار گرفتند. سپس ۲۵۰ ردیف اول داده‌ها برای آموزش شبکه و ۵۰ ردیف داده بعدی برای ارزیابی نتایج به کار گرفته شدند. بعد از آن با استفاده از فایل داده Train و تغییر پارامترهای قابل تنظیم، شبکه‌های مختلف طراحی و با همیگر مقایسه شدند.

پس از آن، اثر حذف تک تک پارامترها بر روی عملکرد شبکه بررسی گردید. در نهایت با شش پارامتر ورودی شامل سرعت جریان، سرعت بحرانی، عمق آب، قطر پایه‌پل، اندازه متوسط ذرات رسوب و انحراف معیار هندسی ذرات بستر، شبکه‌های جدید طراحی شده، نتایج آن با نتایج شبکه‌های شامل ۱۵ پارامتر ورودی مقایسه گردید. در شبکه‌های با شش پارامتر ورودی نیز همانند روش قبل، تأثیر حذف پارامترها بر روی عملکرد شبکه مقایسه شد. در این حالت چون سرعت آستانه حرکت ذرات براساس اندازه متوسط آنها از دیاگرام شیلدز

لایه پنهانی به لایه خروجی انتشار می‌یابد (سیگنالهای تابعی در شکل ۲). در این مسیر پارامترهای شبکه، ثابت و بدون تغییر در نظر گرفته می‌شوند. مسیر دوم موسوم به مسیر برگشت<sup>۱</sup> می‌باشد که در این مسیر عکس مسیر رفت، پارامترهای شبکه تغییر یافته و تنظیم می‌شوند (سیگنالهای خطأ در شکل ۲)، این تنظیم بر اساس قانون یادگیری اصلاح خطأ انجام می‌گیرد.

بردار خطأ که برابر اختلاف بین پاسخ مطلوب و پاسخ واقعی شبکه می‌باشد در لایه خروجی شبکه تشکیل می‌شود. مقدار خطأ در مسیر برگشت از لایه خروجی از طریق لایه‌های شبکه در کل شبکه توزیع می‌گردد و چون این توزیع در خلاف مسیر ارتباطات وزنی صورت می‌پذیرد، عبارت پس انتشار خطأ جهت توضیح اصلاح رفتار شبکه انتخاب شده است. پارامترهای شبکه طوری تنظیم می‌شوند که پاسخ واقعی شبکه هرچه بیشتر به سمت پاسخ مطلوب نزدیکتر شود، این امر تا رسیدن مقدار خطأ به یک حد قابل قبول ادامه می‌یابد. در اینجا مرحله یادگیری شبکه به پایان می‌رسد و در صورتی که شبکه در برابر یک ورودی جدید قرار گیرد قادر خواهد بود خروجی مناسبی از خود نشان دهد.

پارامترهای قابل تنظیم در طراحی مدل شبکه عصبی مصنوعی در طراحی مدل یک شبکه، با تغییر بعضی از پارامترها، شبکه‌های مختلف ساخته شده و با همیگر مقایسه می‌گردند و در نهایت شبکه‌ای که نزدیکترین نتیجه را با واقعیت داشته باشد بعنوان شبکه اصلی شناخته می‌شود. پارامترهای قابل تنظیم در طراحی مدل شبکه عبارتند از: تعداد لایه‌های پنهانی، تعداد نرونها لایه‌های پنهانی، نرخ یادگیری در لایه‌های پنهانی و لایه خروجی، مومنتوم، اپاک، تابع تبدیل و نحوه ارائه داده‌های ورودی به شبکه.

### روش ساخت شبکه‌ها و نحوه ارزیابی عملکرد آنها

به منظور طراحی یک شبکه نیاز به یک سری داده ورودی بوده تا شبکه توسط آنها آموزش دیده، توسط یک سری داده دیگر کنترل گردد. مهمترین عامل در انتخاب داده‌های ورودی به شبکه، فیزیک حاکم بر فرآیندی است که قرار است توسط شبکه عصبی مصنوعی مدلسازی گردد.

1. Backward flow

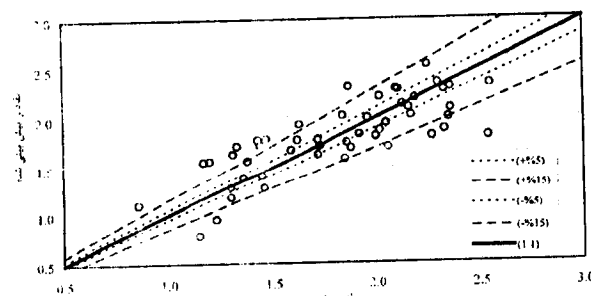
2. Error correction learning rule

## نتایج و بحث

### نتایج شبکه با ۱۵ پارامتر ورودی

به منظور تعیین تعداد مناسب نرونهای لایه پنهانی، شبکه‌های مختلف با تعداد متفاوت نرون در لایه پنهانی طراحی گردید و مشاهده شد که به ازای تعداد ۲۰ نرون در لایه پنهانی، RMSE و MAE دارای کمترین مقدار می‌باشند. با توجه به پارامترهای قابل تنظیم، در این مرحله ۱۴ گروه شبکه طراحی و در هر گروه پنج تکرار با مقادیر وزنهای اولیه متفاوت انجام گردید.

شاخص‌های آماری که در ارزیابی عملکرد شبکه‌ها برای هر یک از گروه‌های چهارده‌گانه (هر گروه پنج تکرار) به کار رفته‌اند میان این موضوع بودند که به جز شبکه با اپاک برابر ۲۵۰، در سایر موارد، تغییر نحوه ارائه داده‌های ورودی و پارامترهای پادگیری تأثیر چندانی بر عملکرد شبکه نداسته است. در شکل ۳ مقادیر پیش‌بینی شده توسط شبکه در مقابل مقادیر مشاهده شده ترسیم شده است. در این شکل، محدوده پنج و ۱۵ درصد نیز در اطراف خط بهترین انطباق ترسیم شده است. مشاهده می‌گردد که حدود ۷۰ درصد نقاط در محدوده ۱۵ درصد قرار می‌گیرند.



شکل ۳- مقادیر مشاهده شده و پیش‌بینی شده با مقادیر پیش فرض برای پارامترهای قابل تنظیم (۱۵ پارامتر ورودی)

### تأثیر حذف پارامترهای ورودی بر عملکرد شبکه‌های ساخته شده با ۱۵ پارامتر ورودی

نتیجه تأثیر حذف پارامترهای ورودی بر MAE و RMSE شبکه‌ها در جدول ۱ نشان داده شده است. در طراحی این شبکه‌ها، کلیه مقادیر قابل تنظیم، مقادیر پیش‌فرض نرم‌افزار بوده و هر شبکه با ۱۴ پارامتر ورودی ساخته شده است. اعداد این جدول بیانگر این موضوع است که از میان تمام پارامترهای

تعیین می‌شود، لذا تأثیر حذف هم زمان این دو پارامتر نیز بر روی عملکرد شبکه بررسی گردید.

### شاخص‌های بررسی عملکرد شبکه

بررسی چگونگی عملکرد و تعیین میزان دقیق مدل طراحی شده، دارای اهمیت ویژه‌ای است. به منظور ارزیابی عملکرد شبکه‌ها علاوه بر ترسیم نمودارهای مقادیر مشاهده شده در برابر مقادیر پیش‌بینی شده توسط شبکه، از شاخص‌های کمی ضریب همبستگی، ریشه میانگین مربعات خطای (RMSE)، میانگین قدر مطلق خطای (MAE)، و باند اعتماد ۹۵٪ (CI<sub>95%</sub>) استفاده گردید.

$$r = \frac{\sum (P_i - \bar{P})(O_i - \bar{O})}{\sqrt{\sum (P_i - \bar{P})^2 \sum (O_i - \bar{O})^2}} \quad (1)$$

$$RMSE = \sqrt{\frac{\sum (P_i - O_i)^2}{n}} \quad (2)$$

$$MAE = \frac{\sum |P_i - O_i|}{n} \quad (3)$$

$P_i$ : مقادیر پیش‌بینی شده توسط مدل

$\bar{P}$ : متوسط مقادیر پیش‌بینی شده توسط مدل

$O_i$ : مقادیر واقعی

$\bar{O}$ : متوسط مقادیر واقعی

$n$ : تعداد مشاهدات

$$CI_{95\%} = MAE \pm 1.96 \left( \frac{SDAE}{\sqrt{n}} \right) \quad (4)$$

در این رابطه، SDAE انحراف معیار<sup>۱</sup> قدر مطلق خطای

می‌باشد که بصورت زیر تعریف می‌شود:

$$SDAE = \sqrt{\frac{\sum (\Delta E_i - \bar{\Delta E})^2}{n}} \quad (5)$$

$\Delta E_i$ : قدر مطلق خطای<sup>۲</sup>

$\bar{\Delta E}$ : میانگین قدر مطلق خطای

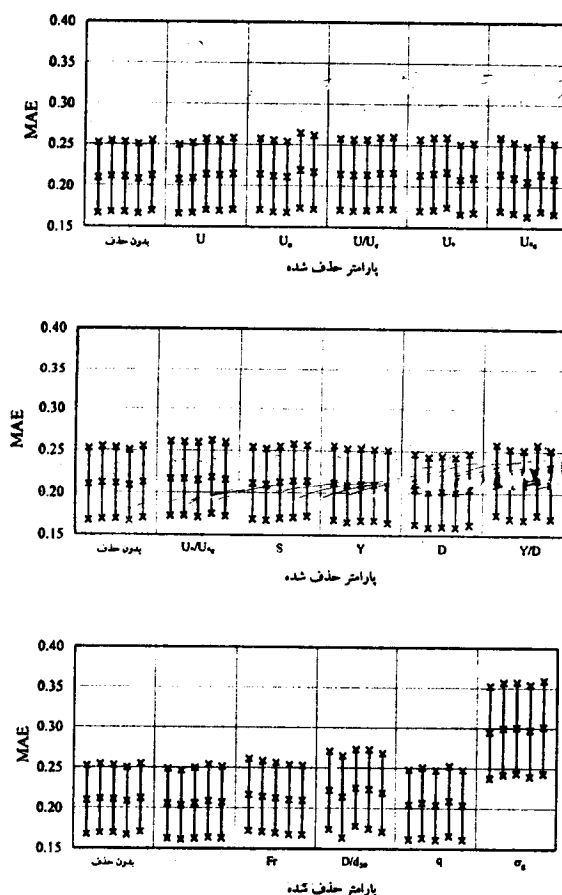
1. Mean of absolute error

2. Confidence interval

3. Standard deviation

4. Absolute error

پارامترهای ورودی را بر MAE شبکه نشان داده و این موضوع را نیز مشخص می‌نماید که آیا اختلاف در مقدار MAE ناشی از حذف پارامترهای ورودی، در سطح اعتماد ۹۵ درصد معنی‌دار است یا خیر. این شکل همچنین نشان می‌دهد که حذف هیچیک از پارامترها به جز انحراف معیار هندسی، تأثیر چندانی بر MAE شبکه ندارد و تنها با حذف انحراف معیار هندسی، MAE شبکه افزایش یافته، عملکرد شبکه ضعیفتر می‌شود.



شکل ۴- تأثیر حذف پارامترهای ورودی بر MAE شبکه‌های طراحی شده (۱۵ پارامتر ورودی)

عملکرد شبکه با شش پارامتر ورودی از آنجائی که تغییر پارامترهای قابل تنظیم، تأثیر چندانی بر عملکرد شبکه‌های طراحی شده برای پایه‌های میانی با ۱۵ پارامتر ورودی نداشت، لذا در طراحی شبکه‌ها با شش پارامتر ورودی، پارامترهای قابل تنظیم را تغییر نداده، فقط یک گروه شبکه پنجتائی با مقادیر وزنهای اولیه متفاوت و مقادیر پارامترهای قابل تنظیم پیش‌فرض نرم‌افزار طراحی گردید.

ورودی تنها حذف انفرادی پارامترهای  $U^*$ ,  $U_c$ ,  $D/d_{50}$  و  $\sigma_g$  تأثیر قابل ملاحظه‌ای بر مقادیر RMSE و MAE شبکه دارد. حذف پارامترهای ورودی دیگر تأثیر قابل ملاحظه‌ای از خود به جای نمی‌گذارند. از میان سه پارامتر یاد شده فوق، حذف  $\sigma_g$  تأثیر قابل توجه تری نسبت به دو پارامتر دیگر بر نتایج می‌گذارد. این بدان علت است که اثر انحراف معیار هندسی به طور ضمنی در هیچیک از ۱۴ پارامتر ورودی دیگر قابل مشاهده نیست. حال آنکه اثر ضمنی پارامتری مثل سرعت جریان در پارامترهای ورودی دیگری نظیر  $U^*$ ,  $U_c$ ,  $q$  و بیز  $Fr$  مشاهده می‌باشد و حذف مستقیم آن از پارامترها به منزله حذف اثر آن نمی‌باشد. به همین دلیل عملکرد شبکه تغییر چندانی نمی‌نماید.

جدول ۱- تأثیر حذف پارامترهای ورودی بر MAE و RMSE شبکه‌های طراحی شده با ۱۵ پارامتر ورودی

MAE	RMSE	پارامتر حذف شده	ردیف
۰/۲۰۴	۰/۲۵۸	U	۱
۰/۲۰۷	۰/۲۶۴	$U_c$	۲
۰/۲۱۳	۰/۲۷۰	$U/U_c$	۳
۰/۲۱۰	۰/۲۶۴	$U^*$	۴
۰/۲۱۴	۰/۲۷۰	$U^*_c$	۵
۰/۲۲۰	۰/۲۸۱	$U^*/U^*_c$	۶
۰/۲۱۷	۰/۲۶۹	S	۷
۰/۲۱۳	۰/۲۶۸	Y	۸
۰/۲۰۶	۰/۲۵۹	D	۹
۰/۲۰۷	۰/۲۶۱	Y/D	۱۰
۰/۲۰۳	۰/۲۶۰	$d_{50}$	۱۱
۰/۲۱۱	۰/۲۶۷	Fr	۱۲
۰/۲۲۶	۰/۲۵۹	$D/d_{50}$	۱۳
۰/۲۰۵	۰/۲۶۳	q	۱۴
۰/۳۲۴	۰/۲۸۳	$\sigma_g$	۱۵

و MAE شبکه با ۱۵ پارامتر ورودی به ترتیب برابر با ۰/۲۵۷ و ۰/۲۰۷ می‌باشند.

در شکل ۴ مقدار MAE و باند اعتماد ۹۵ درصد آن در شبکه‌های طراحی شده با مقادیر پیش‌فرض و حذف تک‌تک پارامترهای ورودی نشان داده شده است. این شکل تأثیر حذف

پارامترهای  $U$  و  $d_{50}$  مشترکاً حذف و نتیجه آن بر عملکرد شبکه بررسی گردید. همانگونه که از این جدول مشاهده می‌شود اگر پنج پارامتر سرعت جریان، عمق جریان، قطر پایه، اندازه متوسط ذرات بستر و انحراف معیار هندسی ذرات بستر را عنوان پارامترهای مهم در ایجاد پدیده آبشنستگی در نظر بگیریم، از این میان تأثیر انحراف معیار هندسی ذرات بستر از همه بیشتر و عمق جریان کمترین تأثیر را داشته است. از این جدول همچنین مشاهده می‌گردد که حساسیت پدیده آبشنستگی به انحراف معیار هندسی ذرات بستر در حدود ۱۰ برابر حساسیت آن نسبت به عمق جریان می‌باشد.

جدول ۲ - تأثیر حذف پارامترهای ورودی بر MAE و RMSE شبکه‌های طراحی شده با شش پارامتر ورودی

MAE	RMSE	پارامتر حذف شده
۰/۲۶۲	۰/۳۲۴	$U$
۰/۲۳۰	۰/۲۹۳	$U_c$
۰/۲۲۱	۰/۲۹۰	$Y$
۰/۲۴۳	۰/۳۱۴	$D$
۰/۲۲۰	۰/۲۸۶	$d_{50}$
۰/۳۰۲	۰/۳۸۶	$\sigma_g$
۰/۲۵۷	۰/۳۲۰	$d_{50}$ و $U_c$

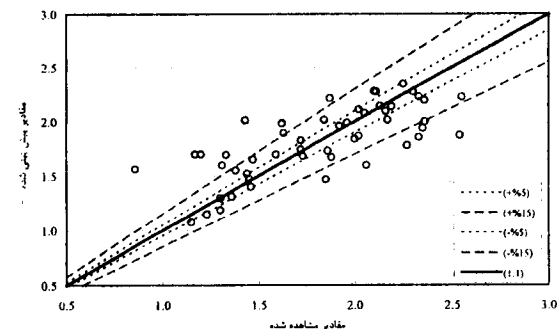
شبکه بدون حذف پارامتر ورودی به ترتیب برابر با ۰/۲۸۰ و ۰/۲۱۵ می‌باشد.

#### نتیجه‌گیری

به طور کلی می‌توان نتیجه گرفت که شبکه عصبی مصنوعی نسبت به دقیقترین روابط ارائه شده به منظور محاسبه عمق آبشنستگی نتایج بهتری ارائه می‌دهد. در شبکه‌های طراحی شده، مقدار ریشه میانگین خطای (RMSE) برای پایه‌های میانی با ۱۵ پارامتر ورودی و پایه‌های میانی با شش پارامتر ورودی به ترتیب برابر با ۰/۲۶ و ۰/۲۸ می‌باشد (مقدار خروجی بین ۰/۸ تا ۰/۲۶ متغیر و مقدار متوسط آن ۰/۸ می‌باشد).

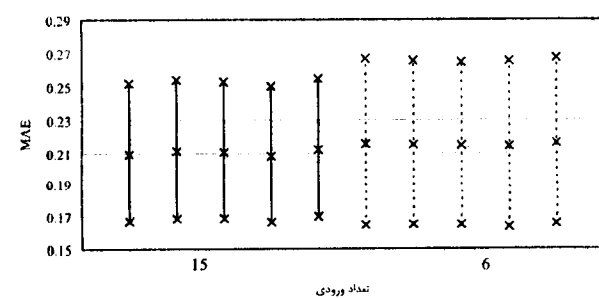
تغییر پارامترهای قابل تنظیم و نحوه ارائه داده‌های ورودی تأثیر چندانی بر عملکرد شبکه نداشته است و فقط در یک مورد (اپاک برابر ۲۵۰) نتایج شبکه ضعیفتر شده است. لذا می‌توان گفت در ساخت شبکه نیازی به تغییر این عوامل نمی‌باشد و

در شکل ۵ مقادیر مشاهده شده و مقادیر پیش‌بینی شده توسط شبکه به همراه محدوده پنج و ۱۵ درصد در اطراف خط بهترین انطباق ترسیم شده است. این شکل نیز نشان می‌دهد که در حدود ۷۰ درصد موارد، مقادیر پیش‌بینی شده توسط شبکه در محدوده  $+15\%$  و  $-15\%$  درصد مقادیر واقعی قرار دارند.



شکل ۵- مقادیر مشاهده شده در برابر مقادیر پیش‌بینی شده توسط شبکه طراحی شده با مقادیر پیش‌فرض پارامترهای قابل تنظیم (شش پارامتر ورودی)

به منظور مقایسه بین شبکه‌های با ۱۵ و شش پارامتر ورودی، شکل ۶ ترسیم شده است. همانگونه که این شکل نشان می‌دهد در سطح اعتماد ۹۵ درصد، اختلاف معنی‌داری بین این دو سری شبکه طراحی شده وجود ندارد.



شکل ۶- مقایسه شبکه‌های طراحی شده با ۱۵ پارامتر ورودی به همراه باند اعتماد ۹۵ درصد

#### تأثیر حذف پارامترهای ورودی بر عملکرد شبکه (شبکه‌های ساخته شده با ۶ پارامتر ورودی)

نتیجه تأثیر حذف پارامترهای ورودی بر MAE و RMSE شبکه‌ها، در جدول ۲ نشان داده شده است. در این مرحله، هفت سری شبکه پنج تائی ساخته شد. در شش سری از شبکه‌ها، هر شش پارامتر ورودی به طور انفرادی حذف و در سری هفتم،

در مقایسه نتایج حاصل از شبکه‌های طراحی شده با رگرسیون چندمتغیره خطی، مشاهده گردید که شبکه‌ها به مراتب نتیجه بهتری نسبت به رگرسیون چندمتغیره خطی ارائه می‌دهند.

نتایج حاصل از مقایسه شبکه‌های طراحی شده برای پایه‌های میانی با روابط تجربی موجود نشان می‌دهد که برآورد میزان عمق آبستنگی توسط مدل، تطابق بیشتری با داده‌های اندازه‌گیری شده دارد. در این راستا شبکه دارای RMSE برابر ۰/۲۶ و بهترین رابطه تجربی موجود (رابطه فروهلهیج) دارای RMSE برابر ۰/۳۵ می‌باشد. (با داده‌های یکسان) به منظور تطابق بیشتر داده‌های اندازه‌گیری شده با داده‌های پیش‌بینی شده توسط مدل، توصیه می‌شود در شرایط مختلف از نظر عدد فروود، نسبت Y/D و نسبت U/U داده‌های بیشتری تهیه و جمع‌آوری گردد و در هر شرایط خاص، مسئله توسط شبکه عصبی مصنوعی مدلسازی شود. در چنین شرایطی قطعاً شبکه‌های طراحی شده با دقت بیشتری میزان حداقل عمق آبستنگی را برآورد خواهند نمود.

### سپاسگزاری

این پژوهش مستخرج از طرح برآورد میزان آبستنگی اطراف پایه‌های پل‌ها به کمک شبکه عصبی مصنوعی به شماره ۷۱۱/۱/۲۹۹ می‌باشد که با حمایت مالی معاونت محترم پژوهشی دانشگاه تهران انجام شده است که بدینوسیله از معاونت محترم پژوهشی دانشگاه تهران برای فراهم کردن امکانات مالی تحقیق تشرک و قدردانی می‌شود.

### REFERENCES

1. منهج، م. ب. ۱۳۷۷، هوش محاسباتی (جلد اول)، میانی شبکه‌های عصبی. انتشارات دانشگاه صنعتی امیرکبیر.
2. Breusers, H.N.C. and A. J. Raudkivi. 1991. Scouring. IAHR, Hydraulic Structures Design Manual No. 2. A. A. Balkema Publisher, Oldpost Road, Brookfield, VT05036, USA, 143p
3. Chiew, Y. M.. 1984. Local scour at bridge piers. Report No. 355, School of Engineering, Department of Civil Engineering, University of Auckland, Auckland, New Zealand.
4. Chiew, Y. M. 1995. Mechanics of riprap failure at bridge piers. Journal of Hydraulic Engineering, ASCE, Vol. 121, No. 9. 635-643.
5. Ettema, R. 1980. Scour at bridge piers. Report No. 216, School of Engineering, Department of Civil Engineering, University of Auckland, Auckland, New Zealand.
6. Gill, M. A. 1972. Erosion of sand beds around spur dikes. Journal of the Hydraulic Division, ASCE, Vol. 98, No. HY9. 1587-1602.
7. Kandasamy, J. K. 1989. Abutment scour. Report No. 458, School of Engineering, Department of Civil Engineering, University of Auckland, Auckland, New Zealand.

مقادیر پیش‌فرض نرم‌افزار جواب قابل قبولی ارائه می‌دهند. بین شبکه‌های ساخته شده برای پایه‌های میانی با ۱۵ و شش پارامتر ورودی، در سطح اعتماد ۹۵ درصد تفاوت معنی‌داری وجود ندارد. عبارت دیگر بجای استفاده از ۱۵ پارامتر ورودی در محاسبه عمق آبستنگی می‌توان از شش پارامتر استفاده نمود و انتظار جواب تقریباً یکسانی داشت.

در شبکه‌های طراحی شده برای پایه‌های میانی با ۱۵ پارامتر ورودی، حذف پارامتر انحراف‌معیار هندسی تأثیر زیادی در عملکرد شبکه داشته، باعث ضعیف شدن آن می‌شود در حالی که حذف ۱۴ پارامتر دیگر تأثیر کمتری در عملکرد شبکه دارد (در سطح اعتماد ۹۵ درصد، تفاوت معنی‌دار نمی‌باشد). علت امر رامی توان به این صورت تبیین نمود که اثر انحراف‌معیار هندسی در هیچیک از ۱۴ پارامتر ورودی دیگر به طور ضمنی وجود ندارد، حال آنکه پارامترهای دیگر اثر متقابل دارند. حذف مستقیم این پارامترها در حقیقت باعث حذف اثر آنها در دیگر پارامترها نمی‌شود، به همین دلیل عملکرد شبکه تغییر چندانی نمی‌نماید.

نتایج این تحقیق نشان می‌دهد که اگر چه پدیده آبستنگی تابع عوامل بسیار متعددی است، اما مهمترین عوامل عبارتند از سرعت جریان، عمق جریان، قطر پایه، اندازه متوسط ذرات بستر و انحراف‌معیار هندسی ذرات، که از این میان تأثیر انحراف‌معیار هندسی ذرات بستر از همه بیشتر و تأثیر عمق جریان از سایر پارامترها کمتر می‌باشد. طبق نتایج بدست‌آمده، حساسیت پدیده آبستنگی به انحراف‌معیار هندسی ذرات بستر در حدود ۱۰ برابر حساسیت آن نسبت به عمق جریان می‌باشد.

### مراجع مورد استفاده

1. منهج، م. ب. ۱۳۷۷، هوش محاسباتی (جلد اول)، میانی شبکه‌های عصبی. انتشارات دانشگاه صنعتی امیرکبیر.
2. Breusers, H.N.C. and A. J. Raudkivi. 1991. Scouring. IAHR, Hydraulic Structures Design Manual No. 2. A. A. Balkema Publisher, Oldpost Road, Brookfield, VT05036, USA, 143p
3. Chiew, Y. M.. 1984. Local scour at bridge piers. Report No. 355, School of Engineering, Department of Civil Engineering, University of Auckland, Auckland, New Zealand.
4. Chiew, Y. M. 1995. Mechanics of riprap failure at bridge piers. Journal of Hydraulic Engineering, ASCE, Vol. 121, No. 9. 635-643.
5. Ettema, R. 1980. Scour at bridge piers. Report No. 216, School of Engineering, Department of Civil Engineering, University of Auckland, Auckland, New Zealand.
6. Gill, M. A. 1972. Erosion of sand beds around spur dikes. Journal of the Hydraulic Division, ASCE, Vol. 98, No. HY9. 1587-1602.
7. Kandasamy, J. K. 1989. Abutment scour. Report No. 458, School of Engineering, Department of Civil Engineering, University of Auckland, Auckland, New Zealand.

8. Kwan, T. F. 1984. Study of abutment scour. Report No. 328, School of Engineering, Department of Civil Engineering, University of Auckland, Auckland, New Zealand.
9. Kwan, T. F. 1988. A study of abutment scour. Report No. 451, School of Engineering, Department of Civil Engineering, University of Auckland, Auckland, New Zealand.
10. Laursen, E. M. 1956. Scour around bridge piers and abutments. Iowa Institute of hydraulic research, State university of Iowa.
11. Melville, B. W. and A. J. Sutherland. 1988. Design method for local scour at bridge piers. Journal of Hydraulic Engineering, ASCE, Vol. 114, No. 10. 1210-1226.
12. Melville, B. W. 1975. Local scour at bridge sites. Report No. 117, School of Engineering, Department of Civil Engineering, University of Auckland, Auckland, New Zealand.
13. Raudkivi, A. J. and R. Ettema. 1983. Clear-Water scour at cylindrical piers. . Journal of Hydraulic Engineering, ASCE, Vol. 109, No. 3. 338-350.
14. Shoirole, A. M. and R.C. Holt, 1991. Planning for a comprehensive bridge safety assurance program. Transportation Research Records, No. 1290, Nat. Res. Council, Washangton, D.C. 39-50
15. Simons, D. B. and F. Senturk. 1992. Sediment Transport Technology, WRP, Littleton, CO, USA.

## **Estimating Local Scour Depth Around Piers Located in a River Main Channel Using Artificial Neural Networks**

**S. KOUCHAKZADEH<sup>1</sup>, A.M. LEYAGHAT<sup>2</sup> AND H. SHAIKHSHAMAYEL<sup>3</sup>**

**1, 2, 3, Associate Professor, Assistant Professor and Irrigation Structures Engineer,  
Irrigation & Reclamation Engineering Department.,**

**University of Tehran, Karaj, Iran**

**Accepted May. 15, 2002**

### **SUMMARY**

Many researches were accomplished to predict the maximum scour depth around piers located in a river main channel. Based on the results of previous studies many equations were proposed for this purpose, however, each equation incorporates only limited affecting factors on the phenomena. In this study valuable data gathered during the last few decades have been used to examine the application of Artificial Neural Networks for predicting the maximum local scour depth around piers. The data were randomly divided into two parts, the first part was used to train the ANN and the second to validate its outputs. This research indicated that reasonable concordance was obtained between observed local scour depths and calculated values based on ANN. ANN also, yields more satisfactory results as compared with the multi linear regression model. Sensitivity analysis was also done to determine the most affecting factors on the process. It was indicated that the geometric standard deviation of the bed material affects the output the most. Other factors such as flow velocity, median grain size, pier width, and flow depth affect the phenomenon as well.

**Keywords:** Local scour, Pier, Artificial neural networks, Shear velocity, Critical velocity, Live bed, Hydraulic structures.